

Universidade Federal de Juiz de Fora  
Departamento de Mecânica Aplicada e Computacional  
Resistência dos Materiais

## Relatório Lista 1 - MAC026 - Introdução aos Método Discretos

Aluno: Alexandre Vitor Silva Braga - 201965501B

Professores: Thaianne Oliveira e Elson Magalhães Toledo

Relatório de MAC026 - Introdução  
aos Método Discretos, parte inte-  
grante da avaliação da mesma.

Juiz de Fora

Julho de 2022

# Sumário

<b>Exercício 1</b>	<b>1</b>
O Problema: . . . . .	1
Métodos: . . . . .	1
Resultados: . . . . .	2
<b>Exercício 2</b>	<b>3</b>
O Problema: . . . . .	4
Métodos: . . . . .	4
Resultados: . . . . .	6
<b>Exercício 3</b>	<b>10</b>
O Problema: . . . . .	10
Métodos: . . . . .	11
Resultados: . . . . .	11
<b>Exercício 4</b>	<b>13</b>
O Problema: . . . . .	13
Métodos: . . . . .	14
Resultados: . . . . .	16

# Exercício 1

Resolver o problema  $y' = 8$ , com  $y_0 = 1$  e solução exata  $y(t) = 8t + 1$ , empregando o método de Euler Explícito, o método de Euler Implícito e o Método dos Trapézios. Para tal, considerar:

- Tempo Final:  $T = 1$
- Intervalos de discretização  $h = 0.5$  e  $h = 0.25$

Apresentar o gráfico dos resultados e comentar o desempenho dos diferentes métodos empregados.

## O Problema:

Seja

$$y' = 8, \quad y_0 = 1$$

Solução Exata

$$y(t) = 8t + 1$$

## Métodos:

<b>Função <math>f = y'</math></b>	$\begin{cases} f_j = 8 \\ f_{j+1} = 8 \end{cases}$
<b>Euler Explícito</b>	$\begin{cases} y_{j+1} = y_j + hf_j \\ y_{j+1} = y_j + 8h \end{cases}$
<b>Euler Implícito</b>	$\begin{cases} y_{j+1} = y_j + hf_{j+1} \\ y_{j+1} = y_j + 8h \end{cases}$
<b>Trapézios</b>	$\begin{cases} y_{j+1} = y_j + \frac{h}{2}(f_{j+1} + f_j) \\ y_{j+1} - \frac{h}{2}(f_{j+1}) = y_j + \frac{h}{2}f_j \\ y_{j+1} - 4h = y_j + 4h \\ y_{j+1} = y_j + 8h \end{cases}$

## Resultados:

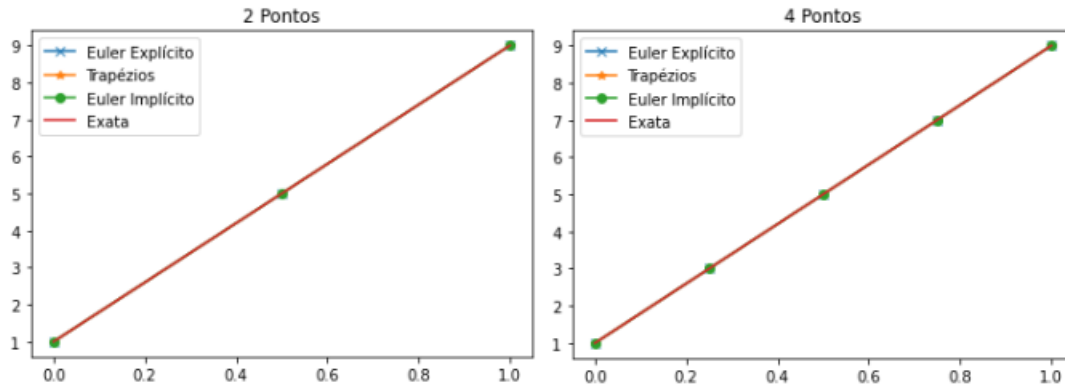


Grafico Exec 1

A partir dos gráficos acima podemos concluir que todos os métodos foram nodalmente precisos. Isso ocorreu pelos seguintes motivos, primeiramente a aproximação utilizada para todos tornou-se a mesma ao final, dada por  $y_{j+1} = y_j + 8h$ . Em seguida o porquê dessa aproximação ter sido a mesma, ambas  $f_j$  e  $f_{j+1}$  são iguais em decorrência da derivada da função ser constante,  $y' = 8$ . Por fim, A derivada da função é constante por se tratar de uma função linear na forma  $ax + b$ , na qual  $a = 8$ ,  $x = t$ , e  $b = 1$ .

É relevante ressaltar que, como temos uma função linear torna-se fácil aproximar nodalmente exata, pois o método faz tornar-se uma mímica da função real, **b** representa o valor pela qual a reta passa por **0**, **a** representa a inclinação da reta, ou seja, a derivada de uma função linear, e em nosso equivalente nos métodos de 1ª Ordem utilizados, **h** representa o x da reta. Logo aproximações nodalmente exatas

## Exercício 2

Resolver o problema  $y' = \lambda y(1 - y)$ , com  $y_0 = 10$ ,  $\lambda = 0.05$  e solução Exata  $y(t) = \frac{y_0 e^{\lambda t}}{1 + y_0(e^{\lambda t} - 1)}$  empregando os métodos:

- Euler Explícito;
- Euler modificado (Heun);
- Leapfrog;
- Runge-Kutta clássico (RK4);
- Adams-Bashforth de 3<sup>a</sup> Ordem;
- Método preditor-corretor de 4<sup>a</sup> Ordem construído a partir dos métodos de Adams.

Para tal, considerar:

- Tempo Final:  $T = 50$
- Número de Pontos:  $M = 100$ ,  $M = 200$  e  $M = 300$

Apresentar o gráfico dos resultados e comentar o desempenho dos diferentes métodos empregados comparando com a solução exata. Apresentar também um gráfico de erro, considerando o valor absoluto do máximo erro encontrado para cada um dos métodos em estudo e comentar. Para o método Leapfrog, considere como valor inicial:

Solução Exata

Para os métodos Preditor-Corretor 4<sup>a</sup> Ordem e Adams-Bashforth considere como valores iniciais:

- Solução Exata
- Valores Obtidos através de Euler Modificado
- Valores Obtidos através de Runge-Kutta 4<sup>a</sup> Ordem

Avaliar a influência da escolha das estimativas iniciais para Preditor-Corretor e comentar os resultados obtidos.

## O Problema:

Seja

$$y' = \lambda y(1 - y), \quad y_0 = 10, \quad \lambda = 0.05$$

Solução Exata

$$y(t) = \frac{y_0 e^{\lambda t}}{1 + y_0(e^{\lambda t} - 1)}$$

$$y(t) = \frac{10e^{0.05t}}{1 + 10(e^{0.05t} - 1)}$$

## Métodos:

<b>Função <math>f = y'</math></b>	$\begin{cases} f_j = \lambda y_j(1 - y_j) \\ f_{j+1} = \lambda y_{j+1}(1 - y_{j+1}) \end{cases}$
<b>Euler Explícito</b>	$\begin{cases} y_{j+1} = y_j + hf_j \\ y_{j+1} = y_j + h(\lambda y_j(1 - y_j)) \\ y_{j+1} = y_j(1 + h\lambda(1 - y_j)) \\ y_{j+1} = y_j(1 + h\lambda - h\lambda y_j) \end{cases}$
<b>Euler Modificado (Heun)</b>	$\begin{cases} Heun : f_{j+1} = f(t_j + h, y_j + hf_j) \\ De Euler Explícito : y_{j+1} = y_j + hf_j \\ Entao de : f_{j+1} = \lambda y_{j+1}(1 - y_{j+1}) \\ Vem : f_{j+1} = \lambda(y_j + hf_j)(1 - (y_j + hf_j)) \\ f_{j+1} = \lambda(y_j + hf_j)(1 - y_j - hf_j) \\ De Trapezios : y_{j+1} = y_j + \frac{h}{2}(f_{j+1} + f_j) \\ Dai : y_{j+1} = y_j + \frac{h}{2}(\lambda(y_j + hf_j)(1 - y_j - hf_j) + f_j) \end{cases}$
<b>Leapfrog</b>	$\begin{cases} y_{j+1} = y_{j-1} + 2hf_j \end{cases}$

<b>Runge-Kutta 4<sup>a</sup> Ordem</b>	$\left\{ \begin{array}{l} y_{j+1} = y_j + \frac{h}{6}(K_1 + 2K_2 + 2K_3 + K_4) \\ K_1 = f_1 = f_j \\ K_2 = f_2 = f(y_j + \frac{h}{2}f_1) \\ K_3 = f_3 = f(y_j + \frac{h}{2}f_2) \\ K_4 = f_4 = f(y_j + hf_3) \end{array} \right.$
<b>Adams-Bashforth de 3<sup>a</sup> Ordem</b>	$\left\{ \begin{array}{l} y_{j+1} = y_j + \frac{h}{12}(K_1 - K_2 + K_3) \\ K_1 = 23f_j \\ K_2 = -16f_{j-1} \\ K_3 = 5f_{j-2} \end{array} \right.$
<b>Preditor-Corretor de 4<sup>a</sup> Ordem</b>	$\left\{ \begin{array}{l} \text{Heun : } y_{j+1} = y_j + \frac{h}{2}((y_j + hf_j)(1 - y_j - hf_j) + f_j) \\ \text{Adams - Bashforth de 4 Ordem :} \\ y_{j+1} = y_j + \frac{h}{24}(K_1 - K_2 + K_3 - K_4) \\ K_1 = 55f_j \\ K_2 = 59f_{j-1} \\ K_3 = 37f_{j-2} \\ K_4 = 9f_{j-3} \\ \text{Adams - Mouton de 4 Ordem :} \\ y_{j+1} = y_j + \frac{h}{24}(K_0 + K_1 - K_2 + K_3) \\ K_0 = 9f_{j+1} \\ K_1 = 19f_j \\ K_2 = 5f_{j-1} \\ K_3 = f_{j-2} \\ \text{Prediz um } y_{j+1} \text{ através de Adams-Bashforth} \\ \text{para utilizar em Adams - Mouton} \end{array} \right.$

## Resultados:

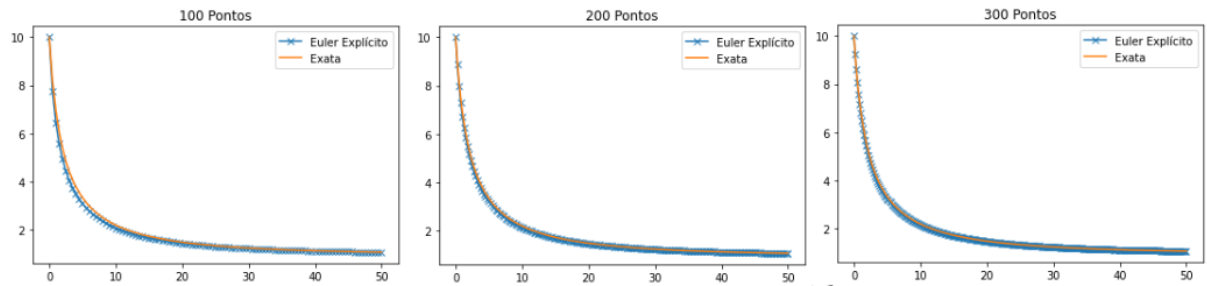


Gráfico Euler Explícito Exec2  
Converge

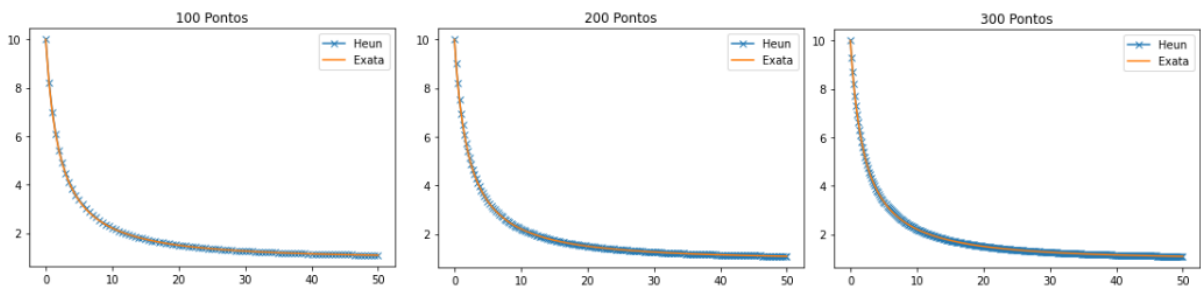


Gráfico Euler Modificado (Heun) Exec2  
Converge

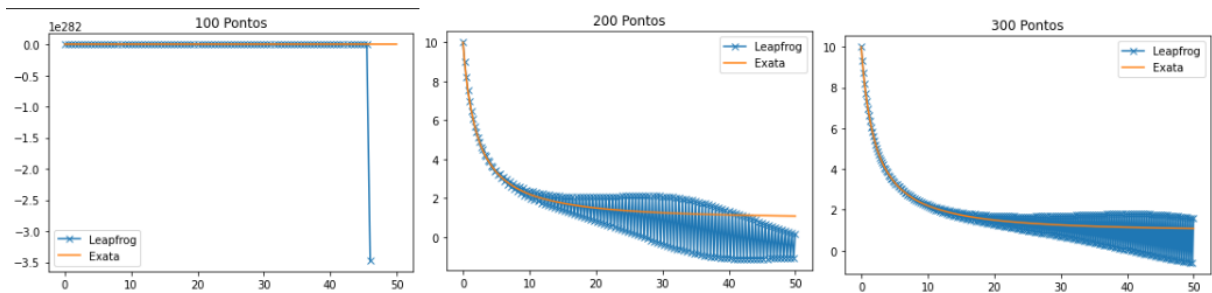


Gráfico Leapfrog Exec2

Podemos notar que o método claramente diverge da solução, por se tratar de um método instável.

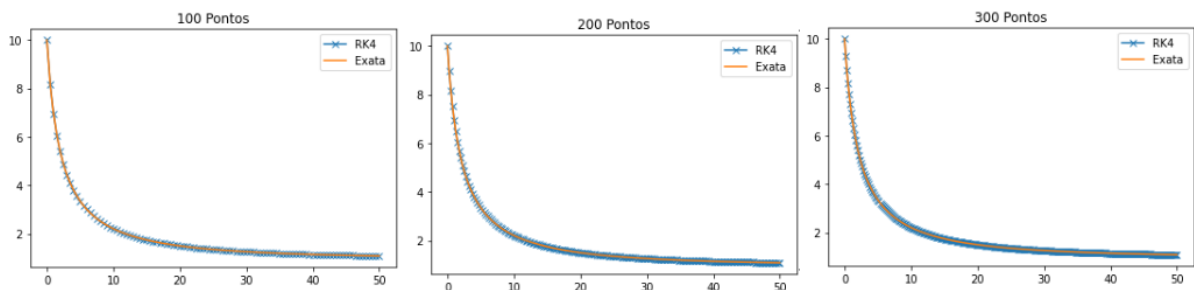


Gráfico Runge-Kutta 4ª Ordem (Clássico) Exec2



Converge como esperado.

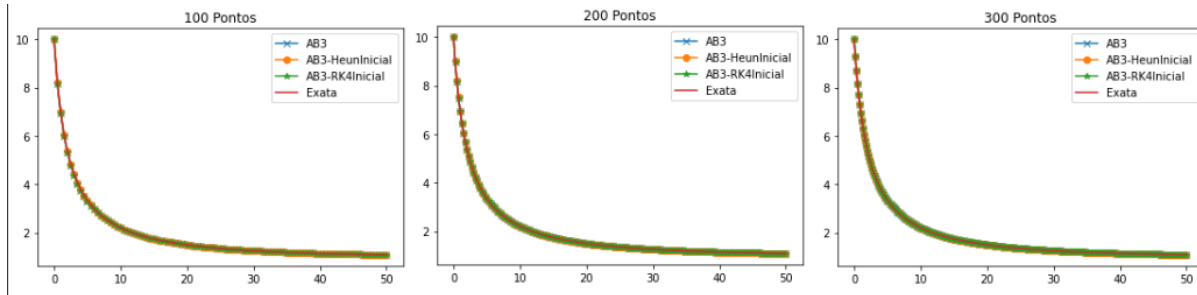


Gráfico Adams-Bashforth 3ª Ordem Exec2

A partir dos resultados obtidos acima, podemos notar que, independentemente de não ter a solução exata para os valores iniciais do método, é possível fazê-lo tender a solução desejada de outro modo. Nesse caso utilizando-se dos valores iniciais calculados a partir dos métodos de Heun e Runge-Kutta 4ª Ordem a solução visualmente parece tender ao resultado esperado em ambos os casos.

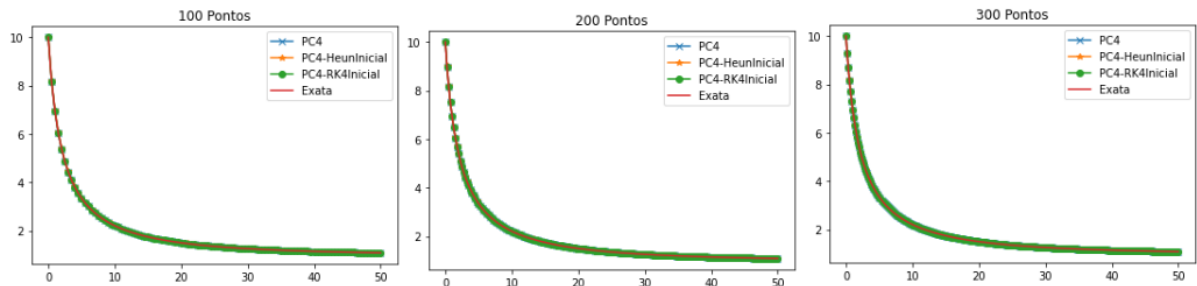


Gráfico Preditor-Corretor 4ª Ordem Exec2

Assim como no método anterior, mesmo sem a solução exata, utilizando-se dos valores iniciais calculados a partir dos métodos de Heun e Runge-Kutta 4ª Ordem a solução visualmente converge ao resultado esperado em ambos os casos.

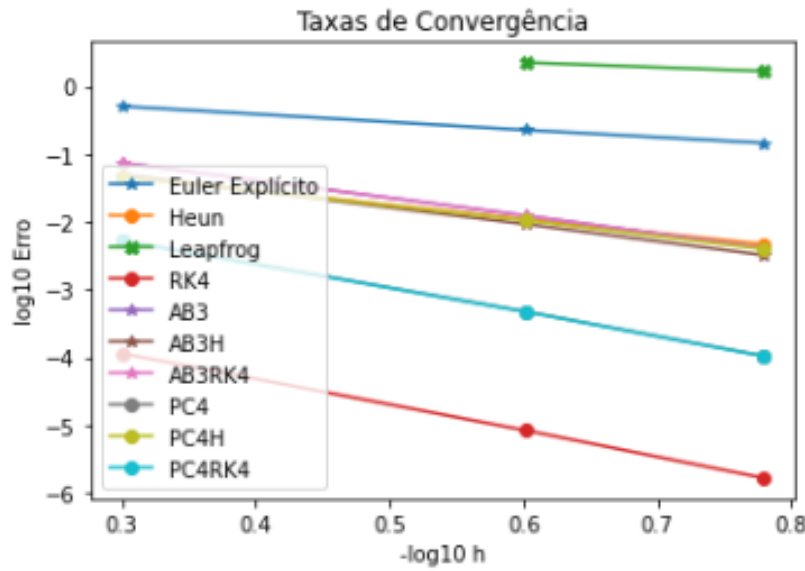


Gráfico  $\log_{10}$  Erro x  $\log_{10}$  Refinamento  $h$

Tabela 1: Tabela Taxas de Convergência dos Métodos

Método	Taxa de Convergência
Euler Explícito	1.132383597861282
Euler Modificado (Heun)	2.0846055691075986
Leapfrog	0.7183996391825612
Runge-Kutta 4ª Ordem (Clássico)	3.84112522229465
Adams-Bashforth 3ª Ordem	2.630816285511977
Adams-Bashforth 3ª Ordem + Heun	2.480126368604959
Adams-Bashforth 3ª Ordem + Runge-Kutta 4ª Ordem	2.6301963662418713
Predito-Corretor 4ª Ordem	3.5561737974316947
Predito-Corretor 4ª Ordem + Heun	2.2330547356789014
Predito-Corretor 4ª Ordem + Runge-Kutta 4ª Ordem	3.553239142765866

Analisando o Gráfico acima nota-se que todos os métodos estão convergindo, e claramente que os métodos com melhor taxa de convergência tratam-se daqueles de mais alta ordem. Sendo eles Runge-Kutta de 4ª Ordem, e Preditor-Corretor de 4ª Ordem, algo esperado considerando a natureza dos mesmos.

A partir da Tabela Taxas de Convergência dos Métodos, é possível visualizar a ordem de convergência dos métodos, nota-se que estão de acordo com o esperado:

- Os métodos de primeira ordem Euler Explícito e Leapfrog com taxa aproximada 1;
- O de segunda ordem sendo ele Heun com taxa aproximada 2;

- Os métodos de terceira ordem sendo somente Adams-Bashforth com taxa aproximada de 3;
- E os métodos de quarta ordem sendo Runge-Kutta Clássico e Preditor-Corretor com taxa aproximada 4.

A influência da escolha inicial para os métodos de Adams e Preditor-Corretor é evidente através das taxas de Convergência. Embora ter a solução exata permita o método convergir como o esperado, nem sempre é possível tê-la. Por isso testou-se outras opções de escolha inicial, sendo elas através do método de Heun e Runge-Kutta Clássico. Nos gráficos apresentados anteriormente, ambos métodos Adams e Preditor-Corretor convergiam independente da escolha, mas agora é possível analisar quão bem convergiam.

Primeiramente com o método de Heun é notável a queda na taxa de convergência em ambos. Por ser um método de 2<sup>a</sup> ordem, influenciou nas ordens maiores, sendo maior a influência no Preditor-Corretor por ser de 4<sup>a</sup> Ordem. Em seguida com o método de Runge-Kutta a taxa de convergência de mantém, como o mesmo também é um método de 4<sup>a</sup> Ordem. Logo, a combinação com métodos de ordens menores podem influenciar na taxa de convergência de métodos de ordens maiores, diminuindo-a. E combinar métodos de ordem igual ou maior mantém a taxa de convergência, sendo boas opções para aproximações iniciais.

## Exercício 3

Seja o seguinte problema de valor inicial (Heath, Michael T. Scientific Computing - An Introductory Survey. Revised edition. SIAM):  $y' = 100y + 100t + 101$ , com  $y_0 = 1.1$  e solução Exata  $y(t) = 1 + t + ce^{-100t}$ , onde  $c$  é uma constante, empregando os métodos:

- Euler Explícito
- Euler Implícito
- Método do Trápézio

Para tal, considerar:

- Tempo Final:  $T = 1$
- Número de Pontos:  $M = 10$ ,  $M = 50$  e  $M = 100$

Apresentar o gráfico dos resultados e comentar o desempenho dos diferentes métodos empregados comparando com a solução exata. Comentar sobre quais métodos são mais adequados para esse problema.

### O Problema:

Seja

$$y' = -100y + 100t + 101, \quad y_0 = 1.1$$

Solução Exata

$$y(t) = 1 + t + ce^{-100t}$$

## Métodos:

<b>Função <math>f = y'</math></b>	$\begin{cases} f_j = -100y_j + 100t + 101 \end{cases}$
<b>Euler Explícito</b>	$\begin{cases} y_{j+1} = y_j - hf_j \\ y_{j+1} = y_j - h(-100y_j + 100t + 101) \end{cases}$
<b>Euler Implícito</b>	$\begin{cases} y_{j+1} = y_j + hf_{j+1} \\ y_{j+1} = y_j + h(-100y_{j+1} + 100t + 101) \\ y_{j+1} + 100hy_{j+1} = y_j + 100ht + 101h \\ (1 + 100h)y_{j+1} = y_j + 100ht + 101h \\ y_{j+1} = \frac{y_j + 100ht + 101h}{1 + 100h} \end{cases}$
<b>Trapézios</b>	$\begin{cases} y_{j+1} = y_j + \frac{h}{2}(f_{j+1} + f_j) \\ y_{j+1} = y_j + \frac{h}{2}(-100y_{j+1} + 100t + 101 + f_j) \\ y_{j+1} + \frac{h}{2}100y_{j+1} = y_j + \frac{h}{2}(100t + 101 + f_j) \\ (1 + 50h)y_{j+1} = y_j + \frac{h}{2}(100t + 101 + f_j) \\ y_{j+1} = \frac{y_j + \frac{h}{2}(100t + 101 + f_j)}{(1 + 50h)} \end{cases}$

## Resultados:

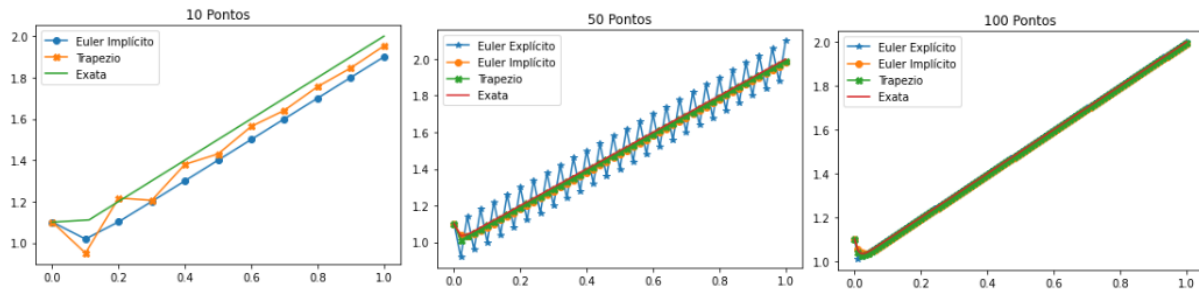


Gráfico Exec3

A partir do gráfico acima podemos notar que o método do trapézio em 10 pontos oscila em torno da função exata, e a medida que o número de pontos aumenta converge à solução desejada. Já o método de Euler explícito apresenta resultados que começam a convergir somente a partir de 50 pontos para os valores testados. Não tendo resultados desejáveis com 10 pontos por ser muito instável, e alcançando uma estabilidade somente

aos 100 pontos. Por fim o método de Euler Implícito desde 10 pontos tende a convergir para o resultado com a forma correta, tornando-se bem preciso.

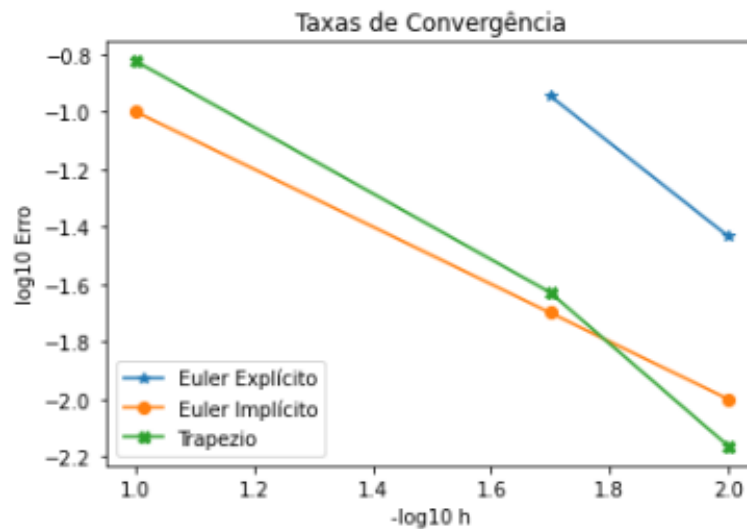


Gráfico log10 Erro x log10 Refinamento h

Expandindo a análise com as taxas de convergência, apresenta-se que Euler explícito e Trapezio tem as maiores. Porém, esse fato deriva de suas instabilidades anteriores, pois como é possível notar na Tabela abaixo, Euler Implícito converge com taxa quase exatamente 1, por ser incondicionalmente estável. Além disso, Euler explícito e Trapezio são condicionalmente estáveis para esse caso, sendo necessário um número mínimo de pontos para executá-los com sucesso. Logo o método mais ideal para esse tipo de problema seria Euler Implícito.

Tabela 2: Tabela Taxas de Convergência dos Métodos

Método	Taxa de Convergência
Euler Explícito	1.625813452970565
Euler Implícito	0.9999999999665004
Método do Trapézio	1.3393461055000797

## Exercício 4

Considere o problema do oscilador harmônico simples:

$$y' = v, \quad v' = \frac{F(y)}{m} \text{ com } y_0 = 0.4\text{m}, \quad v_0 = 0$$

No qual:  $F(y) = -ky$ ,  $k = 8 \text{ N/m}$ ,  $m = 0.160\text{kg}$

E solução exata  $y(t) = y_0 \cos(\omega t)$ ,  $\omega = \sqrt{\frac{k}{m}}$

Aplicar os métodos

- Euler symplectic
- Velocity-Verlet
- Runge-Kutta 4<sup>a</sup> Ordem

Para tal, considerar:

- Tempo Final:  $T = 10$  (Apenas Euler Symplectic),  $T = 400$
- Intervalos de discretização  $h = 0.1$

Apresentar o gráfico dos resultados e comentar o desempenho dos diferentes métodos empregados em termos de conservação de energia do sistema.

### O Problema:

Seja

$$\begin{aligned} y' &= v, & y_0 &= 0.4 \\ v' &= \frac{F(y)}{m}, & v_0 &= 0, \quad m = 0.160 \\ F(y) &= -ky, & k &= 8 \end{aligned}$$

Solução Exata

$$\begin{aligned} y(t) &= y_0 \cos(\omega t), & \omega &= \sqrt{\frac{k}{m}} \\ v(t) &= -\omega y_0 \sin(\omega t), & \omega &= \sqrt{\frac{k}{m}} \end{aligned}$$

## Métodos:

<b>Função</b> $f = y'$	$\left\{ \begin{array}{l} f_j = v_j \end{array} \right.$
<b>Função</b> $g = v'$	$\left\{ \begin{array}{l} g_j = \frac{F(y_j)}{m} \end{array} \right.$
<b>Função</b> $F(y_j)$	$\left\{ \begin{array}{l} F(y_j) = -ky_j \end{array} \right.$
<b>Euler Symplectic*</b>	$\left\{ \begin{array}{l} y_{j+1} = y_j + hv_j \\ v_{j+1} = v_j + \frac{h}{m} F(y_{j+1}) \\ v_{j+1} = v_j - \frac{h}{m} K y_{j+1} \\ v_{j+1} = v_j - \frac{h}{m} K(y_j + hv_j) \\ v_{j+1} = v_j - \omega^2 h(y_j + hv_j) \end{array} \right.$
<b>Velocity-Verlet</b>	$\left\{ \begin{array}{l} y_{j+1} = y_j + \frac{h}{2}(v_j + v_{j+1}) \\ y_{j+1} = y_j + \frac{h}{2}(v_j + v_j + \frac{h}{m} F(y_{j+1})) \\ y_{j+1} = y_j + hv_j + \frac{h^2}{2m} F(y_j) \\ y_{j+1} = y_j + hv_j - \frac{h^2}{2m} K y_j \\ y_{j+1} = y_j + hv_j - \omega^2 \frac{h^2}{2} y_j \\ v_{j+1} = v_j + \frac{h}{2m} (F(y_{j+1}) + F(y_j)) \\ v_{j+1} = v_j - \frac{h}{2m} (K(y_{j+1}) + K(y_j)) \\ v_{j+1} = v_j - \omega^2 \frac{h}{2} ((y_{j+1}) + (y_j)) \\ v_{j+1} = v_j - \omega^2 \frac{h}{2} ((y_j + hv_j - \omega^2 \frac{h^2}{2} y_j) + (y_j)) \\ v_{j+1} = v_j - \omega^2 h y_j - \omega^2 \frac{h^2}{2} v_j + \omega^4 \frac{h^3}{4} y_j \\ v_{j+1} = v_j - \omega^2 h y_j (1 - \omega^2 \frac{h^2}{4}) - \omega^2 \frac{h^2}{2} v_j \end{array} \right.$



<b>Runge-Kutta 4ª Ordem</b>	$\begin{cases} y_{j+1} = y_j + \frac{h}{6}(K_1 + 2K_2 + 2K_3 + K_4) \\ K_1 = f_1 = f_j \\ K_2 = f_2 = f(y_j + \frac{h}{2}g_1) \\ K_3 = f_3 = f(y_j + \frac{h}{2}g_2) \\ K_4 = f_4 = f(y_j + hg_3) \\ v_{j+1} = v_j + \frac{h}{6}(K_1 + 2K_2 + 2K_3 + K_4) \\ K_1 = g_1 = g_j \\ K_2 = g_2 = g(v_j + \frac{h}{2}f_1) \\ K_3 = g_3 = g(v_j + \frac{h}{2}f_2) \\ K_4 = g_4 = g(v_j + hf_3) \end{cases}$
-----------------------------	--

\*O método de Euler Symplectic pode ser realmente verificado como symplectic da seguinte maneira:

$$\text{Se } \begin{cases} y_{j+1} = f(y_j, v_j) \\ v_{j+1} = g(y_j, v_j) \end{cases} \quad \text{Vem } \begin{vmatrix} f_y & f_v \\ g_y & g_v \end{vmatrix} = 1, \forall y, v \quad \text{Temos } f_y g_v - f_v g_y = 1 \forall y, v$$

$$\text{Verificando: } \begin{cases} f(y_j, v_j) = y_j + hv_j \\ g(y_j, v_j) = v_j - K \frac{h}{m}(y_j + hv_j) \\ \omega = \sqrt{\frac{K}{m}}, \omega^2 = \frac{K}{m} \end{cases} \quad \begin{cases} f(y_j, v_j) = y_j + hv_j \\ g(y_j, v_j) = v_j - \omega^2 h y_j - \omega^2 h^2 v_j \end{cases}$$

$$\text{Na forma matricial: } \begin{bmatrix} y_{j+1} \\ v_{j+1} \end{bmatrix} = \begin{bmatrix} 1 & h \\ -\omega^2 h & 1 - \omega^2 h^2 \end{bmatrix} \begin{bmatrix} y_j \\ v_j \end{bmatrix}$$

$$\text{Então: } \begin{vmatrix} f_y & f_v \\ g_y & g_v \end{vmatrix} = \begin{vmatrix} 1 & h \\ -\omega^2 h & 1 - \omega^2 h^2 \end{vmatrix} = 1, \forall y, v$$

$$\begin{vmatrix} 1 & h \\ -\omega^2 h & 1 - \omega^2 h^2 \end{vmatrix} = 1(1 - \omega^2 h^2) - h(-\omega^2 h)$$

$$1 - \omega^2 h^2 + \omega^2 h^2 = 1 \Rightarrow \begin{vmatrix} f_y & f_v \\ g_y & g_v \end{vmatrix} = 1, \forall y, v \quad \text{c.q.d.}$$

## Resultados:

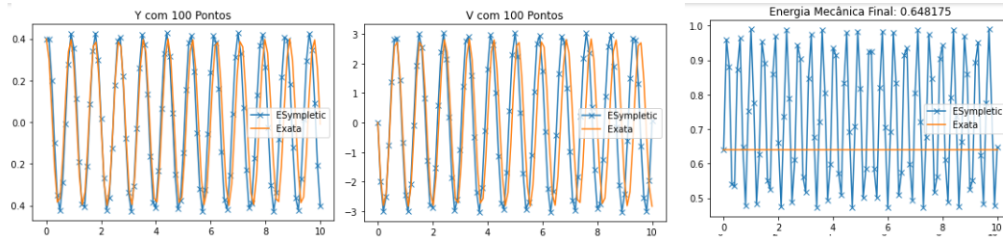


Gráfico Symplectic  $T = 10$  Exec4

É possível notar que a solução converge tanto para a posição  $Y$ , quanto para a velocidade  $V$  desejadas, nota-se também que a Energia Mecânica do sistema se conserva.

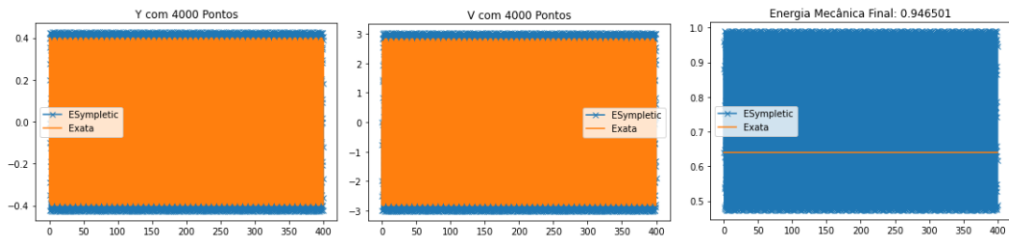


Gráfico Symplectic  $T = 400$  Exec4

Assim como para  $T = 10$ , a solução conserva a Energia Mecânica.

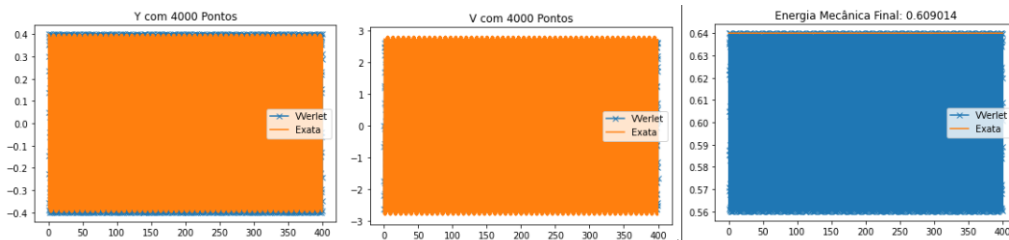


Gráfico Velocity Verlet  $T = 400$  Exec4

Assim como o método Symplectic, a solução conserva a Energia Mecânica.

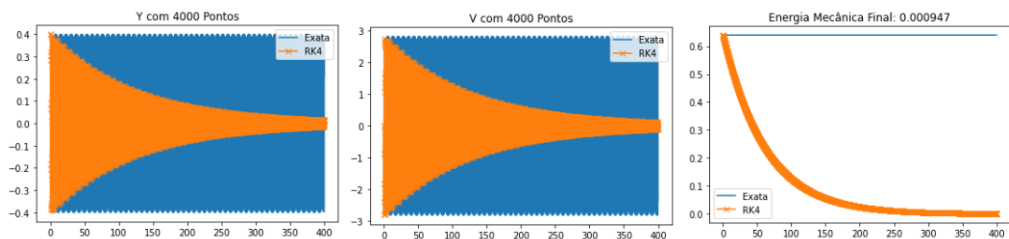


Gráfico Runge-Kutta 4º Ordem  $T = 400$  Exec4

O método não é adequado à resolução, pois não conserva a Energia Mecânica, a mesma diminui com o passar do tempo e tende a zero.